

بررسی ساختار گسل مشا (جنوب البرز مرکزی) با استفاده از روش مگنتوتلوریک

بهروز اسکوئی^{۱*}، مصطفی صیادی^۲ و صفیه امیدیان^۳

^۱ استادیار، گروه فیزیک زمین، مؤسسه ژئوفیزیک دانشگاه تهران، ایران

^۲ دانش آموخته کارشناسی ارشد ژئوفیزیک، گروه فیزیک زمین، مؤسسه ژئوفیزیک دانشگاه تهران، ایران

^۳ دانش آموخته کارشناسی ارشد، دانشکده علوم زمین، دانشگاه تهران، ایران

(دریافت: ۹۱/۴/۱۵، پذیرش نهایی: ۹۱/۴/۱۳)

چکیده

بررسی پدیده‌های زمین‌شناسی و زمین‌ساختی البرز و تحلیل چگونگی روند و منشا این پدیده‌ها همواره بهمنزله یکی از جاذبیت‌های البرز مورد توجه بوده است. البرز مرکزی به دلیل برهم‌کنش‌های متعدد ساختاری و پیچیدگی‌های زمین‌ساختی، چالش‌های بیشتری را دربر داشته است. با بررسی‌های جدید در مورد روند و عملکرد بخش‌هایی از گسل‌های بزرگ و توانمند این منطقه ابهامات فراوانی به وجود آمده است. البرز مرکزی به دلیل فشارش مدام صفحه عربی به صفحه ایران با جهت N10-20E دارای ساختارهای شدیداً گُسلیده فشاری و چین‌خورده تقریباً شرقی- غربی و با شبیه رو به شمال است. اخیراً در مورد برخی از گسل‌ها روش شده است که دارای حرکات کششی با شبیه رو به جنوب هستند. در این تحقیق با استفاده از روش مگنتوتلوریک، در امتداد یک نیم‌رخ ۲/۵ کیلومتری عمود بر گسل مشا و در جنوب شرق آتشفشاران دماوند محل دقیق گسل، منطبق با نقشه زمین‌شناسی شناسایی شده است. از سوی دیگر تغییرات شبیه گسل از ۸۰ تا ۷۵ درجه به سمت شمال در اعماق، به حالت تقریباً قائم در نزدیکی سطح رسیده است. که با توجه به تغییر روند مشهود در مدل‌های حاصل از وارون‌سازی، عملکرد گسل در جایه‌جایی واحدهای دارای مقاومت یکسان با در نظر گرفتن شبیه گسل به طرف شمال، نomal است. عملکرد شاخه‌های فرعی گسل و همچنین آبراهه‌های گسلی نیز در این تحقیق در زیر بعضی از ایستگاه‌ها شناسایی شد که نشان از وجود زون‌های خرد شده با مقاومت کم دارد. تغییر شبیه صفحه اصلی گسل از نتایج اساسی و بحث‌انگیز تحقیق حاضر و با توجه به پیشینه زمین‌ساختی البرز مرکزی طراحی نیم‌رخ‌های موازی و عمود بر امتداد گسل در این منطقه برای تأیید صحت نتایج فوق پیشنهاد می‌شود.

واژه‌های کلیدی: تحلیل ابعادی، دترمینان، گسل مشا، مگنتوتلوریک

Study of Mosha fault structure (South of the Central Alborz) using magnetotelluric method

Oskooi, B.¹, Sayyadi, M.² and Omidian, S.³

¹Assistant Professor, Earth Physics Department, Institute of Geophysics, University of Tehran, Iran

²M.Sc. in Geophysics, Earth Physics Department, Institute of Geophysics, University of Tehran, Iran

³M.Sc. in Petrology, Faculty of Geology, College of science, University of Tehran, Iran

(Received: 05 May 2010, Accepted: 03 Jul 2012)

Abstract

Magnetotellurics (MT) is an electromagnetic geophysical method of imaging the earth's subsurface by measuring natural variations of the electrical and magnetic fields at the Earth's surface. Investigation depth ranges from 300m below ground by recording higher frequencies down to 10,000m or deeper with long-period soundings. Research applications include experimentation to further develop the MT technique, long-period deep crustal exploration, and earthquake precursor prediction research. Also,

Magnetotelluric method is a powerful tool for deep crustal studies of tectonically active mountainous regions such as the Himalaya, where logistic constraints severely limit the use of other artificial source electrical and electromagnetic methods. Topographic variations in mountainous regions distort apparent resistivity curves and thus lead to artifacts in interpreted models. The results of the magnetotelluric soundings provide new insights on the geological structure and tectonics of the mountainous areas. Magnetotelluric method (MT) offers opportunity to detect crustal fluids along faults due to their high conductivity anomaly. Supposing that fluids deposited minerals in the conductive fractures (faults, dykes) decreasing the resistivity, the high seismicity in the area can be explained by the presence of the fluids.

Mosha Fault in northern part of Iran is located in an E-W trend and act as a separator for Alborz mountain chain from Central Iran. This fault is interesting to investigate, because Tehran city (Capital of Iran) has a risk of an earthquake occurrence so that understanding the fault characteristics is very important. Mosha Fault Zone is also an interesting structure due to its key character of mysterious structural relation to the mechanism of the fault zone. Mosha fault has the most complicated tectonic structure in Alborz zone due to big changes that have affected the region basically. These ambiguities come from the increase with new studies about process and work parts of great faults in the area. Central Alborz inclusive structures are reverse faults with nearly East- West crackled dipping towards north. This can be a result due to continuous compression of the Arabian plate to the Iranian plate with N10-20E direction. Latter studies showed that some of the faults recently show tensional behavior or the dip is changing towards to the south, generally.

Based on the seismic and GPS studies, the Uplift, south Caspian subsidence and subsequent folding, reversal of Alborz strike-slip (from dextral to sinistral) and eastward extrusion of central Iran, coarse Zagros molasse deposition, Dead Sea transform reorganization, Red Sea oceanic spreading, and North and East Anatolian fault slip, all apparently began ca. 5 ± 2 Ma, suggesting a widespread tectonic event that was a response to buoyant Arabian lithosphere choking the Neo-Tethyan subduction zone. Basically, some researchers believe that the westward rotation of the stable Caspian block at this time is started and it cause the change of the dextral strike-slip faults mechanism to the sinistral strike-slip one which cause to making pull-apart system in some part and also in the development of new normal faults with a change in dip direction and block motion of pre-existing faults.

In this study, MT measurements were carried out in the period range 0.001- 420 s crossing Mosha fault along a 2.5k m profile with 8 MT sites. In these work we detect geo-electrical resistivity anomalies of the Earth's crust and link them to local seismic activities. And also the fault location on the geological map is investigated. Surprisingly, fault dip changes from 75-80 degrees in depths to nearly vertical (90 degrees), at the surface. With attention to the geological map and occurrence of this kind of variations in resistive parts, it is not as a sign of geological units differences. We strongly believe that the fault plan is rotating from north toward south. It means that the new block movement would be a normal displacement and not reverse type. For completion and supporting up the results, more profiles in both directions -perpendicular and parallel to the fault tenor-would be necessary to be done. The place of two remarkable drainages system in the studied area and along the profile is compatible with two linear near surface trend of low resistance anomalies. The root of Karaj formation is distinguished at depth of 2500m with having 2.2 to 2.4 ohm meter resistivity. It is shown geophysically below the number four completely and in corner of stations number 3 and 5. It seems that in depth, Mosha fault and Karaj formation have the same trend and dip direction. It would be a key point to

understand and decipher the mysterious about the place and circumstance of Karaj pyroclastics emission. We suggest that they are emitted from faulted structures during Eocene. From this point, we will expand our study to a three-dimensional analysis including the complete data set in order to reveal the detailed features of the electrical structure around the focal regions where the great earthquakes maybe threaten the metropolis.

Key words: Dimensional analysis, Determinant data, Magnetotelluric, Mosha fault

۱ مقدمه

تهران را در مرز کوه و دشت شهر تهران تشکیل می‌دهد. به عقیده نبوی (۱۳۵۵) این گسل در حاشیه جنوبی رشته کوه البرز تا شهر سمنان ادامه دارد.

این گسل موجب راندگی رشته کوه البرز بر روی ایران مرکزی و در شمال تهران موجب راندگی سازند کرج بر روی آبرفت‌های کواترنر دشت تهران شده است. در دره مشاء این گسل موجب راندگی واحدهای پرکامبرین و کامبرین بر روی سازند کرج شده است و شاخه‌های آن در دره کن آبرفت‌های کواترنر را بربرداند که نشانه‌ای از فعال بودن این گسل در عهد حاضر است. قدیمی‌ترین فعالیت گسل نیز مربوط به پرکامبرین است (شکل ۱-ب).

۲ کلیات تحقیقات پیشین

در مورد بخش مرکزی، که نزدیک به دره و روستایی به همین نام قرار دارد، تاکنون تحقیقات متعددی برای شناخت سازوکار راندگی مشا صورت گرفته است که بیشتر آنها بر پایه تحلیل اطلاعات ساختاری استوار بوده است. همان‌طور که پیش‌تر ذکر شد، تاکنون عقیده عمومی روی عملکرد معکوس سامانه‌های گسلی البرز به واسطه فشارش صفحه عربی مت مرکز بوده است، ولی تحقیقات چند دهه اخیر نشان می‌دهد که عامل‌های متعددی در تغییر عملکرد این گسل و نظریه‌های پذیرفته شده قبلی مؤثر باشند.

بررسی‌های ساختاری و لرزه‌زمین‌ساختی جکسون و همکاران (۲۰۰۲) و آلن و همکاران (۲۰۰۳) تأیید کرده

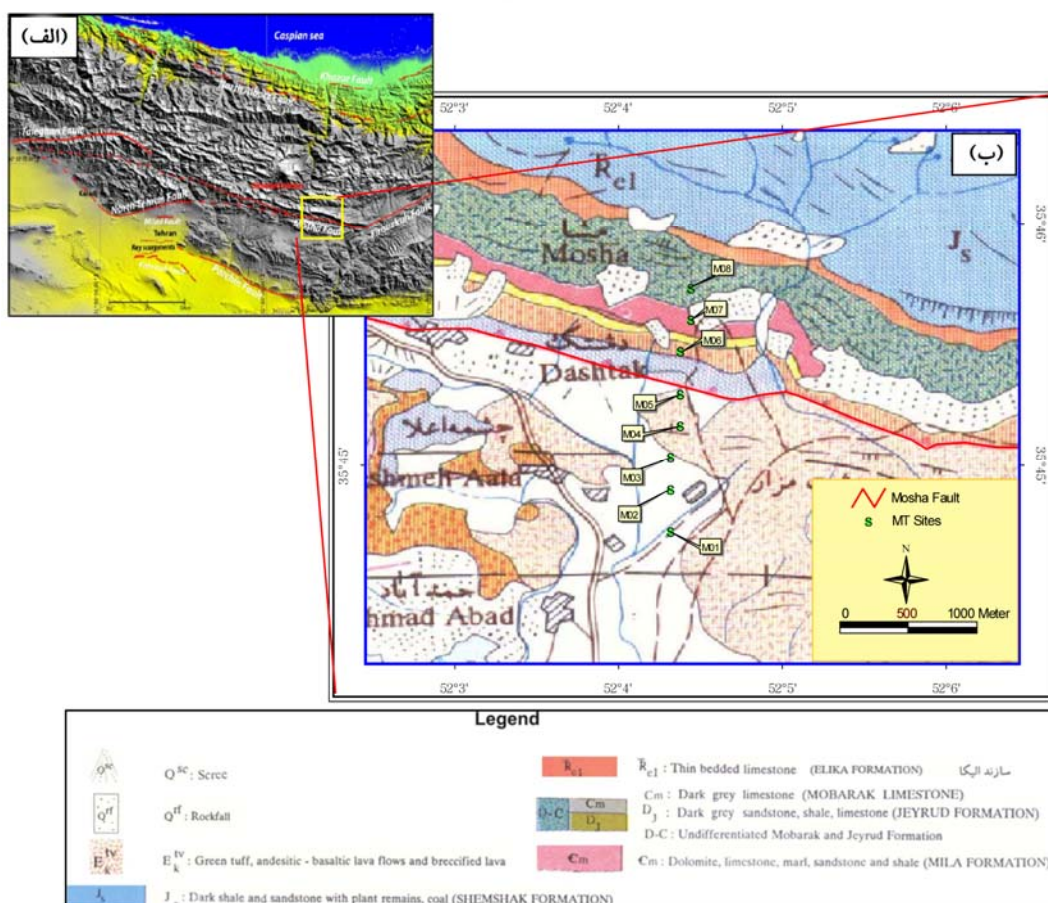
گسل مشا با طولی بالغ بر ۴۰۰ کیلومتر، به منزله یکی از گسل‌های جنبا و فعال البرز مرکزی شناخته شده است. روند کلی این گسل مطابق با روند پی‌سنگ گسلیده و شدیداً چین خورده البرز که متأثر از فشارش مداوم صفحه عربستان به ایران (N10-20E) است، شرقی-غربی در نظر گرفته می‌شود (شکل ۱-الف). روند کلی ساختارهای بزرگ‌مقیاس نشان می‌دهد که تراست‌ها و ساختارهای معکوس همواره از بدیهی ترین نتایج این فشارش مداوم بوده است.

اعتقاد بر این است که سامانه گسل مشا از سه گسل اصلی طالقان (غرب البرز مرکزی)، مشا (البرز مرکزی) و فیروزکوه (شرق البرز مرکزی) تشکیل شده است. البته گاهی به واسطه موقعیت جغرافیایی و عملکرد متفاوت، به صورت مجزا در نظر گرفته می‌شوند و در مواردی به دلیل اینکه این گسل‌ها سازندگان یک زون برپشی بزرگ‌مقیاس هستند، از نظر ساختاری یک سامانه واحد و شاخص حد جنوبی و مرز جداکننده حدفاصل رشته کوه‌های البرز مرکزی در شمال ایران از بخش‌های هموار ایران مرکزی در نظر گرفته می‌شود (شکل ۱-الف).

این گسل در هر بخش از روند خود سازوکار متفاوتی دارد به نحوی که در بخش غربی با روند جنوب شرق، معکوس راست گرد و در بخش مرکزی معکوس و با روند شرقی غربی و در بخش شرقی با راستای شمال شرق-جنوب غرب، فشاری بُرشی چپ گرد است. بخش شرقی در ناحیه لواسان تهران گسل دو شاخه شده و گسله شمال

در البرز پدید آمده است. ریتز و همکاران (۲۰۰۶) اعتقاد دارند نتیجه فعالیت این دو سازوکار توأم، حاکم شدن رژیم تنشی ترافشاری است که با نرخ 2 ± 5 میلی متر حرکت در سال، دارای روند NNE-SSW است. در حالی که بررسی های چندسال اخیر کاملاً بر این پایه بوده که شبکه گسل ها و تراست های البرز مرکزی به سمت شمال بوده است (بربریان و ایتز، ۱۹۹۹؛ باچمانو، ۲۰۰۱؛ آلن و همکاران، ۲۰۰۳، ریتز و همکاران (۲۰۰۳، ۲۰۰۶) خلاف این واقعیت را نشان می دهد.

است که تراست های این ناحیه دارای مؤلفه امتداد لغز چپ گرد هستند، همان گونه که دیویدسون و همکاران (۲۰۰۴) با استناد به شواهد متعدد تغییر رژیم سازوکار این ناحیه را از راست گرد به چپ گرد در طی 5 ± 2 سال اخیر نشان دادند. ورنانت و همکاران (۲۰۰۴) با استفاده از سامانه موقعیت یاب جهانی، نرخ کوتاه شدگی البرز را با توجه به فشارش رو به شمال ایران مرکزی به اوراسیا، 2 ± 4 میلی متر در سال پرآورده کرند و در همین حین گروه جکسون و همکاران (۲۰۰۲) با بررسی سازوکار لرزه های این منطقه روش ساختند که علاوه بر این فعالیت پیوسته کوتاه شدگی (به دلیل شروع چرخش راست گرد حوضه خزر جنوبی نسبت به اوراسیا) حرکت چپ گرد غالی ب نیز



شکل ۱. (الف) موقعیت کلی البرز مرکزی، گسل مشا و محدوده مورد بررسی (کادر زرده نگ) روی تصویر رادار بخشی از ایران و (ب) نقشه زمین شناسی با نمایی نزدیک از کادر زرده نگ در (الف). موقعیت ایستگاه های برداشت داده مگنتوتوریک با رنگ سبز و گسل مشا با خط سرخ نمایش داده است.

تعریف می‌شود.

$$Z = \begin{pmatrix} Z_{xx} & Z_{xy} \\ Z_{yx} & Z_{yy} \end{pmatrix} \quad (3)$$

در حالت‌های زمین یک‌بعدی و دو‌بعدی مولفه‌های قطری تانسور امپدانس مقداری تقریباً برابر با صفر داشته و مولفه‌های غیر قطری تانسور امپدانس در حالت یک‌بعدی مقداری برابر و در حالت دو‌بعدی مقداری متفاوت خواهند داشت. در یک دستگاه مختصات چرخیده شده تانسور امپدانس به صورت $Z' = RZR^T$ تعریف می‌شود که R ماتریس چرخشی تحت زاویه α است و R^T ترانهاده ماتریس چرخشی خواهد بود.

$$R = \begin{pmatrix} \cos \alpha & -\sin \alpha \\ \sin \alpha & \cos \alpha \end{pmatrix} \quad (4)$$

با توجه به اینکه ساختار رسانایی زمین غیرهمگن و ناهمسانگرد است به جای کمیت مقاومت واقعی، از کمیت مقاومت ظاهری در توصیف مقاومت ویژه زمین استفاده می‌شود:

$$\rho_{a_{xy,yx}} = \frac{1}{\mu_0 \omega} |Z_{xy,yx}|^2 = \frac{1}{\mu_0 \omega} \left| \frac{E_{xy,yx}}{H_{xy,yx}} \right|^2 \quad (5)$$

در حالت کلی عناصر تانسور امپدانس به صورت اصلاح شده زیر در خواهد آمد:

$$\begin{aligned} S_1 &= Z_{xx} + Z_{yy} & D_1 &= Z_{xx} - Z_{yy} \\ S_2 &= Z_{xy} + Z_{yx} & D_2 &= Z_{xy} - Z_{yx} \end{aligned} \quad (6)$$

از طرفی پارامتر چاولگی سویفت (K) که از نسبت دامنه‌های تانسور امپدانس به دست می‌آید به صورت مقابل تعريف خواهد شد:

$$\kappa = \frac{|S_1|}{|D_1|} = \frac{|Z_{xx} + Z_{yy}|}{|Z_{xy} - Z_{yx}|} \quad (7)$$

و زاویه‌ای که تحت آن زاویه رابطه بیشترین یا کمترین مقدار خود را بگیرد امتداد اصلی

بررسی‌های آنها روی رسوبات عهد حاضر با بررسی تصاویر ماهواره‌ای، عکس‌های هوایی، مدل سه‌بعدی ارتفاعی، بررسی‌های صحرایی، بررسی ترانشهای و اطلاعات دیرینه لرزه‌زمین ساخت گذشته همراه با نقشه سینماتیک داده‌های GPS نشان می‌دهد که تحرکات ساختاری در البرز مرکزی دستخوش تغییرات بارزی شده است. بررسی روی گسل‌های طالقان و فیروزکوه حاکی از این حقیقت است که نه فقط شب این گسل‌ها به سمت جنوب، بلکه دارای سازوکار نرم‌مال نیز است و در مورد گسل مشا شب رو به شمال و عملکرد نرم‌مال را تشخیص داده‌اند. امیدیان و همکاران (۱۳۸۷)، امیدیان (۱۳۸۶) و حسن‌زاده و همکاران (۲۰۰۶) یک سامانه تراکشنی را در هسته البرز مرکزی به منزله عامل احتمالی زایش دماوند در این منطقه معرفی کرده‌اند.

با توجه به اینکه از نظر زمین‌شناسی پاسخ به این مسئله و یافتن شواهد غیر زمین‌شناسی بسیار حائز اهمیت است، لذا ما در این تحقیق بر آن شدیم تا صحت اطلاعات عرضه شده در طی سالیان متعدد را با روش ژئوفیزیکی مگنتوتولوریک بررسی کنیم. به همین دلیل بخش مرکزی گسل مشا برای این بررسی انتخاب شد.

۳ نظریه روش مگنتوتولوریک

اساس روش مگنتوتولوریک (MT) بر پایه معادلات ماسکسول و روابط بین مولفه‌های میدان الکتریکی (E_x, E_y, E_z) و میدان مغناطیسی (H_x, H_y, H_z) میدان‌های الکترومغناطیسی در حوزه بسامد (ω) بنا شده است.

$$E_x(\omega) = Z_{xx}(\omega)H_x(\omega) + Z_{yy}(\omega)H_y(\omega) \quad (1)$$

$$E_y(\omega) = Z_{yx}(\omega)H_x(\omega) + Z_{yy}(\omega)H_y(\omega) \quad (2)$$

و پارامترهای امپدانس (Z) با توجه به روابط بالا تعريف شده که شکل کلی تانسور امپدانس به صورت مقابل

ساختارها جریان می‌یابد) ایجاد می‌کند، و حالت TE که متناظر با موج قطبیده شده E است منحنی‌های MT طولی (جریان تلویکی در امتداد ساختارها جریان می‌یابد) ایجاد می‌کند. تفاوت اساسی بین این دو حالت در این است که حالت TM ساختارها را باردار می‌کند و بی‌هنگاری‌های آن دارای طبیعت گالوانیکی هستند ولی حالت TE ساختارها را باردار نمی‌کند و بی‌هنگاری‌های آن دارای طبیعت القابی هستند.

حالات TE و TM حساسیت‌های متفاوتی نسبت به ساختارهای نزدیک سطح و عمیق دارند و در تقریب دو بعدی اجسامی که در حالت واقعی سه بعدی هستند با دقتهای متفاوت عمل می‌کنند. در حالی که حالت TM به ساختارهای نزدیک سطح حساس‌تر است و حالت TE به ساختارهای عمیق حساس‌تر است. حالت TM در مقابل اثرات سه بعدی ساختارهای رسانا پایدارتر است در حالی که حالت TE در مقابل اثرات سه بعدی ساختارهای پایدارتر است در حالی که حالت TE در مقابل TE در مقابل اثرات سه بعدی که توسط ساختارهای نارساناتر ایجاد می‌شود پایدارتر است. حالت TM در مقابل جابه‌جایی ایستایی (استاتیک) حاصل از بی‌هنگاری‌های سه بعدی نزدیک سطح تأثیرناپذیرتر از حالت TE است (بردیچوسکی و همکاران، ۱۹۸۸). حالت TETM ترکیبی از حالت‌های TE و TM است و مولفه‌های میدان را در دو امتداد مماس و عمود بر امتداد ساختار در نظر می‌گیرد. در حالت Det امپدانس به صورت دترمینان امپدانس است، مزیت استفاده از داده‌های دترمینان این است که یک مقدار میانگینی از امپدانس‌ها در همه جهت‌های جریان فراهم می‌کند و به علاوه به تشخیص حالت (TE و TM) و همچنین به تصحیحات جابه‌جایی ایستا (Static shif) نیازی نیست و آنالیز بعد (Dimensionality analysis) برای مدل‌های طبیعی یک بعدی 1D و دو بعدی 2D با استفاده از این داده‌ها به سادگی امکان‌پذیر است (اسکویی، ۲۰۰۶).

سویفت نامیده می‌شود، در صورتی که مقدار $k/0<1$ باشد ساختار زمین به صورت یک بعدی یا دو بعدی ساده در نظر گرفته می‌شود و در نتیجه امتداد لایه‌ها با استفاده از رابطه زیر تعریف می‌شود:

$$\tan 40 = 2 \operatorname{Re}(S_2 D_1^*) / |D_1|^2 - |S_2|^2 \quad (8)$$

زمانی که پارامتر چاولگی سویفت از حدود تعیین شده فراتر رود از پارامتر دیگری برای تعیین چاولگی به نام چاولگی باهر استفاده می‌شود

$$\eta = \sqrt{\frac{|[D_1, S_2] - [S_1, D_2]|}{|D_2|}} \quad (9)$$

و استرایک منطقه در این حالت و زمانی که مقدار این پارامتر تحت بازه $0 \leq \eta \leq 0.2$ قرار گیرد از رابطه رویه رو به دست می‌آید:

$$\tan(2\theta) = \frac{[S_1, S_2] - [D_1, D_2]}{[S_1, S_2] + [D_1, D_2]} \quad (10)$$

و در صورتی که مقدار اسکیو باهر در بازه $0.2 \leq \eta \leq 0.3$ باشد از رابطه انحراف فازی در تعیین استرایک منطقه استفاده می‌کنیم.

حالت TE مربوط به میدان الکتریکی مماسی و حالت TM مربوط به میدان مغناطیسی مماسی است. هر دو مولفه نسبت به ساختار رسانایی، مماس هستند و روابط زیر را برقرار می‌کنند:

$$TE_x, E_y \text{ و } B_x \text{ قطبش TM } B_y \text{ و } E_x \quad (11)$$

$$\begin{aligned} \frac{\partial B_z}{\partial y} - \frac{\partial B_y}{\partial z} &= \mu \sigma E_x & - \frac{\partial E_z}{\partial y} + \frac{\partial E_y}{\partial z} &= i \omega B_x \\ - \frac{\partial E_x}{\partial z} &= i \omega B_y & \frac{\partial B_x}{\partial z} &= i \mu \sigma E_y \\ - \frac{\partial E_x}{\partial y} &= i \omega B_z & \frac{\partial B_x}{\partial y} &= i \mu \sigma E_z \end{aligned}$$

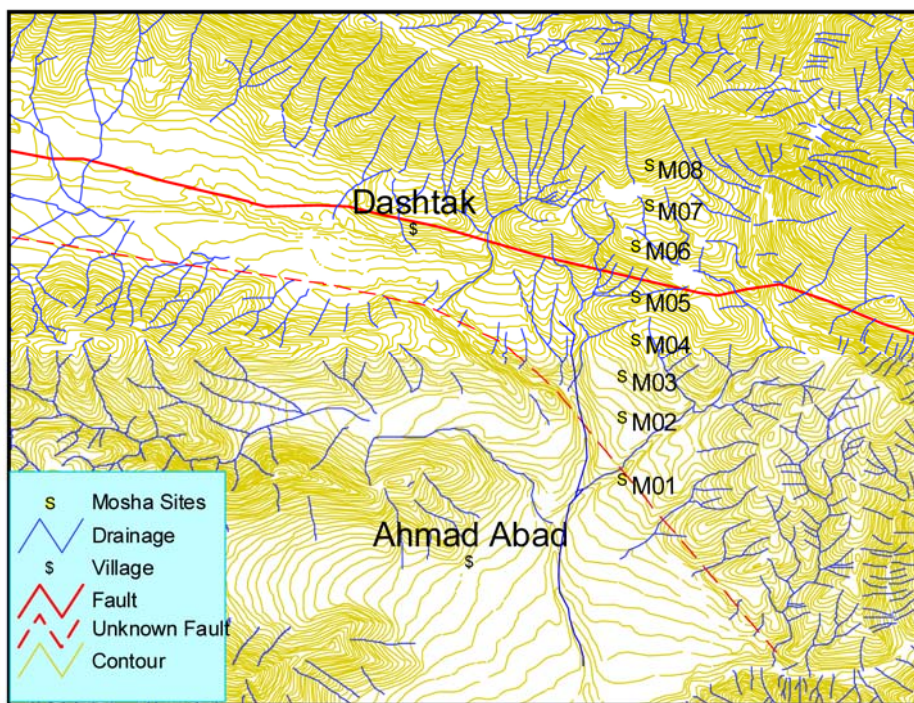
حالت TM که مربوط به موج قطبیده شده B است منحنی‌های MT عرضی (جریان تلویکی در عرض

پوشش می دهد، انتخاب شد. در شکل ۱-ب و شکل ۲ به ترتیب نمایی از محدوده مورد بررسی همراه با ایستگاههای اندازه گیری در روی نقشه های زمین شناسی و توپوگرافی آورده شده است. همان طور که در شکل دیده می شود، گسل مشا از بین ایستگاههای ۵ و ۶ می گذرد و به ترتیب دو عارضه آبراهه اصلی و گسل فرعی بین ایستگاههای اول و دوم و نزدیکی ایستگاه اول واقع هستند. دستگاههای مورد استفاده در این تحقیق، دستگاه مگنتوتولوریک 2000 MTU متعلق به دانشگاه اپسالا ای سوئد است که از سوی بخش ژئومغناطیس مؤسسه ژئوفیزیک دانشگاه تهران امانت گرفته شده بود. با توجه به محدوده دینامیکی بزرگ این دستگاه می توان سیگنال های الکترومغناطیسی را در گستره بسامدی وسیع با قابلیت تحلیل حداکثر و کنترل کیفیت مناسب داده ها برداشت کرد.

$$Z_{Det} = \sqrt{Z_{xx}Z_{yy} - Z_{xy}Z_{yx}} \quad (12)$$

۴ تحقیقات صحرایی و برداشت داده ها

اساس این بخش بر یافتن مناسب ترین محل برای نصب و استقرار دستگاههای اندازه گیری مگنتوتولوریک و برداشت داده ها بود. به همین دلیل با بررسی تصاویر ماهواره ای و نقشه های زمین شناسی در زیر راندگی مشا در نزدیکی منطقه دشتک محل مناسب برای طراحی نیمرخ انتخاب شد. چون این برداشت ها باید در مناطق تا حد امکان هموار و دور از نوکه برداشت شود. برای کنترل های میدانی سه روز بازدید صحرایی صورت گرفت. درنهایت در طول نیمرخ ۳ کیلومتری طراحی شده، ۸ ایستگاه در راستای شمال-جنوب (عمود بر روند گسل) که رسوبات آذرآواری سازند کرج را در جنوب گسل و سازندها و رسوبات مربوط به دوران پالغوزوئیک را در شمال آن



شکل ۲. نقشه توپوگرافی و محل آبراهه های محدوده مورد بررسی. موقعیت ایستگاههای برداشت داده و محل گسل اصلی مشا در بین ایستگاههای ۵ و ۶، گسل فرعی زیرین و آبراهه اصلی منطقه در بین ایستگاههای ۱ و ۲ در شکل نمایش داده شده است.

شده قرار گرفته است. در ایستگاه‌های هفت و هشت ساختارها در سطح به صورت ساختارهای دوبعدی ساده و در اعماق میانی به صورت ساختارهای دوبعدی همراه با آشفتگی گالوانیک هستند.

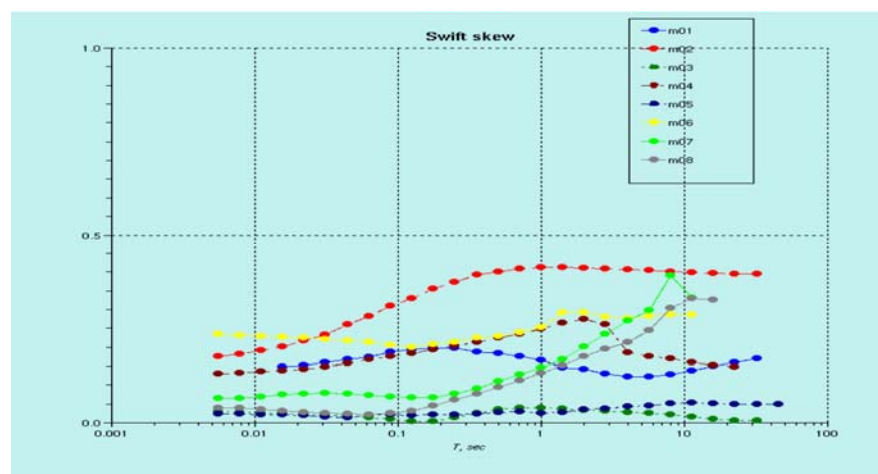
وارونسازی یک بعدی داده‌های دترمینان با استفاده از رهیافت عرضه شده پدرسن (۲۰۰۴) صورت گرفته است. در این برنامه خطای میانگین مربعی کل (Total Mean-Square Error) مدل برآورد شده در تعریف سطح برش (Truncation Level) استفاده می‌شود تا تعادل معقولی بین قدرت تفکیک و واریانس مدل به دست آید. این تعادل عمدتاً با داده‌ها تعیین می‌شود و فرضیات بیشتری به جز اینکه جملات گراییست (Bias Terms) باید به خوبی برآورد شوند، لازم نیست.

پردازش داده‌های MT با رهیافت اسمرینوف صورت گرفت. برای تحلیل ابعادی یک برنامه رایانه‌ای تدوین شد که مشخص می‌کند که در یک عمق خاص چه نوع ساختاری از نظر ابعادی و با چه مقاومت ویژه‌ای وجود دارد. در این قسمت نتایج حاصل از برگردان یک بعدی داده‌های دترمینان برای همه ایستگاه‌ها به طور خلاصه آورده شده است.

۵ تحلیل ابعادی داده‌های صحرایی منطقه موردنظر

با بررسی چاولگی سویفت و باهر در منطقه موردنظر مشخص می‌شود که ساختارهای زمین در این منطقه بیشتر دوبعدی و همراه با آشفتگی گالوانیک (Galvanic Distortion) است که اغلب در اندازه گیری‌های مگنتوتلوریک مشاهده می‌شود و علت آن وجود بی‌هنجری‌های محلی سه بعدی محلی مدفون در سطح زمین است. این نوع آشفتگی مستقل از بسامد است و روی بی‌هنجری‌های بزرگ مقیاس ناحیه‌ای و وابسته به بسامد تأثیر می‌گذاردند. هدف اصلی از آنالیز آشفتگی‌ها، حذف اثر آنها از نتایج است.

توصیف چاولگی سویفت در شکل ۳ نشان می‌دهد که در ایستگاه اول و دوم ساختارهای زمین به صورت یک ساختار دوبعدی نازک همراه با تغییرات رسانایی جانبی روی یک ساختار دوبعدی منطقه‌ای تحت یک دستگاه مختصات چرخیده شده است. در ایستگاه‌های سوم و پنجم ساختارهای زمین در این مناطق به صورت ساختارهای دوبعدی ساده است. در ایستگاه چهارم ساختارهای زمین به صورت ساختارهای سه بعدی هستند. در ایستگاه ششم زمین در این منطقه به صورت ساختارهای دوبعدی همراه با آشفتگی گالوانیک ضعیف تحت یک مختصات چرخیده



شکل ۳. نمایشی از مقادیر چاولگی سویفت در ایستگاه‌های اندازه گیری شده روی گسل مشا.

۴-۵ ایستگاه چهارم: ساختارها در این ایستگاه به صورت یک ساختار دو بعدی نازک روی یک ساختار دو بعدی ضخیم تحت یک دستگاه مختصات چرخیده شده است و امتداد لایه ها از آزمیوت 100° درجه در عمق ۴۰۰۰ متر به آزمیوت 50° درجه در عمق ۹۰۰۰ متری می چرخد.

۵-۵ ایستگاه پنجم: با توجه به اینکه چاولگی سویفت در تمام اعماق کمتر از 10° است. در نتیجه ساختارها در این ایستگاه به صورت یک بعدی در نظر گرفته می شوند و استرایک در این ایستگاه تحت آزمیوت 90° درجه قرار می گیرد.

۶-۵ ایستگاه ششم: ایستگاه ششم روی سازندهای مشکل از شیل و ماسه سنگ های سرخ و سبزرنگ همراه با میان لایه های سنگ آهک تشکیل شده است. مقدار چاولگی سویفت در تمام تناوب ها بیشتر از 10° و از طرفی چاولگی باهر کمتر از 10° است، در نتیجه ساختارهای زمین شناسی به صورت ساختارهایی با آشفتگی محلی ضعیف تحت یک دستگاه مختصات چرخیده شده قرار می گیرد. استرایک از آزمیوت 130° به آزمیوت 50° درجه در تناوب 20° ثانیه چرخیده و تا دوره 60° ثانیه دارای آزمیوت ثابت 80° درجه است و دوباره ساختارهای زمین چرخیده و در آزمیوت 130° درجه قرار می گیرند و این روند تا تناوب 2° ثانیه ادامه می یابد و دوباره ساختارهای زمین به آزمیوت 75° درجه می چرخند. منحنی دترمینان مقاومت و فاز با مدل پاسخ انطباق خوبی را آشکار می سازد و مدل مقاومت ویژه یک بعدی چهار توده رسانا با مقاومت های ویژه 150° ، 150° ، 150° و 20° اهم متر را به ترتیب در اعماق 250° ، 1000° و 6000° متری نشان می دهد. توده رسانای چهارم در عمق 40° کیلومتری قابل شناسایی است. از شکل ۶-ج، زاویه استرایک منطقه 90° درجه و یا شرقی - غربی برداشت می شود که با روند ساختارهای بزرگ مقیاس منطقه هماهنگ است.

۷-۵ ایستگاه هفتم: با توجه به چاولگی سویفت تا عمق ۱۶۰۰ متر ساختارها به صورت یک ساختار یک بعدی

۱-۵ ایستگاه اول: با توجه به اینکه در تمامی اعماق زمین در این ایستگاه مقدار چاولگی سویفت و باهر فراتر از حدود تعیین شده هستند و بررسی اختلاف زوایای بردارهای تلویریک نشان می دهد که ساختارها در این ایستگاه به صورت یک ساختار دو بعدی نازک روی یک ساختار دو بعدی ضخیم تحت یک دستگاه مختصات چرخیده شده قرار می گیرند و بررسی استرایک منطقه در این ایستگاه نشان می دهد که امتداد لایه ها از آزمیوت 135° درجه در عمق 200° متری به آزمیوت 50° درجه در عمق 350° متری چرخیده است.

۲-۵ ایستگاه دوم: با توجه به مقادیر چاولگی سویفت و باهر در این ایستگاه و از طرفی بررسی اختلاف زوایای بردارهای تلویریک در این ایستگاه مشخص می سازد که ساختارها در این ایستگاه به صورت یک ساختار دو بعدی نازک روی یک ساختار دو بعدی ضخیم تحت یک دستگاه مختصات چرخیده شده است و استرایک منطقه تقریباً تحت آزمیوت 90° درجه قرار می گیرد.

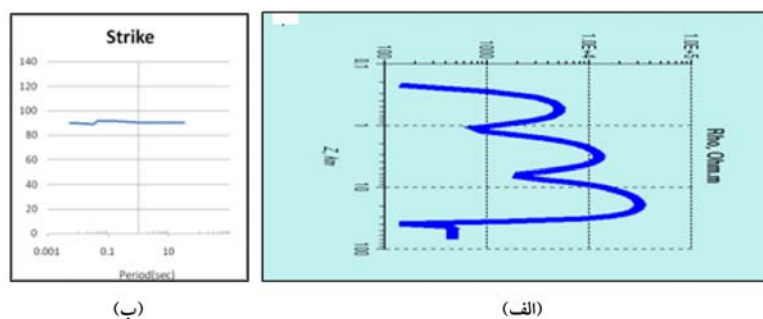
۳-۵ ایستگاه سوم: این ایستگاه روی سازندهای توف و توفیت های سبزرنگ (دوران پالئوسن و ائوسن) قرار گرفته است. با بررسی چاولگی سویفت مشخص شده که در تمامی اعماق، ساختارها به صورت یک ساختار دو بعدی ساده و امتداد لایه ها شرقی غربی هستند. منحنی های دترمینان مقاومت ویژه با مدل پاسخ انطباق خوبی دارند و مدل مقاومت ویژه ۱D، سه توده رسانا با مقاومت های ویژه 150° ، 550° ، 2000° اهم متر را به ترتیب در اعماق 250° ، 1000° و 6000° متری نشان می دهد. توده رسانای چهارم در عمق 40° کیلومتری قابل شناسایی است. از شکل ۶-ج، زاویه استرایک منطقه 90° درجه و یا شرقی - غربی برداشت می شود که با روند ساختارهای بزرگ مقیاس منطقه هماهنگ است.

۶ وارون‌سازی دو بعدی

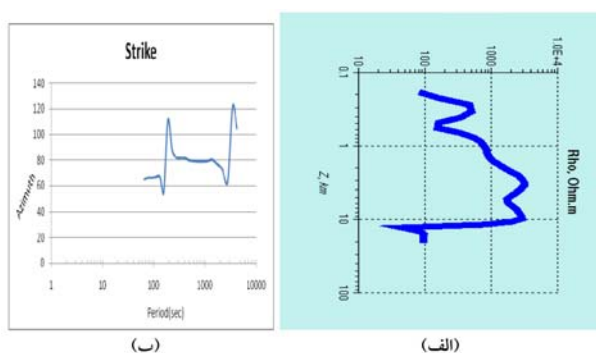
برگردان داده‌ها براساس چگونگی بعد ساختارهای موجود در منطقه عملیاتی که با استفاده از بررسی‌های زمین‌شناسی، زمین‌ساخت و داده‌های MT صورت گرفت. با توجه به اینکه ساختارهای منطقه عمدتاً 1D و 2D تشخیص داده می‌شوند، برگردان داده‌ها ابتدا به صورت یک بعدی و سپس براساس نتایج برگردان یک بعدی مدل‌های اولیه برای برگردان دو بعدی داده‌ها برآورد شد. داده‌های MT در امتداد یک نیم‌رخ جنوبی- شمالی به صورت دو بعدی برگردان شدند و برای حصول اطمینان از کیفیت مدل‌ها، مدل حالت باقی‌مانده (Residual model) که حاصل اختلاف بین مدل‌های مشاهده (Observed model) شده و مدل محاسبه شده یکنواخت و برابر با مقدار صفر را نشان دهد که برای نمونه در حالت دترمینان آورده شده است.

در نظر گرفته می‌شود و از این عمق به بعد با توجه به اینکه مقدار چاولگی سویفت و باهر از حدود تعیین شده فراتر می‌روند و از طرفی اختلاف زوایای بردارهای تلویریک برابر با 90° درجه است ساختارها را در این اعماق به صورت یک ساختار دو بعدی نازک همراه با تغییرات رسانایی جانبی روی یک ساختار دو بعدی تحت یک دستگاه مختصات چرخیده شده در نظر می‌گیریم.

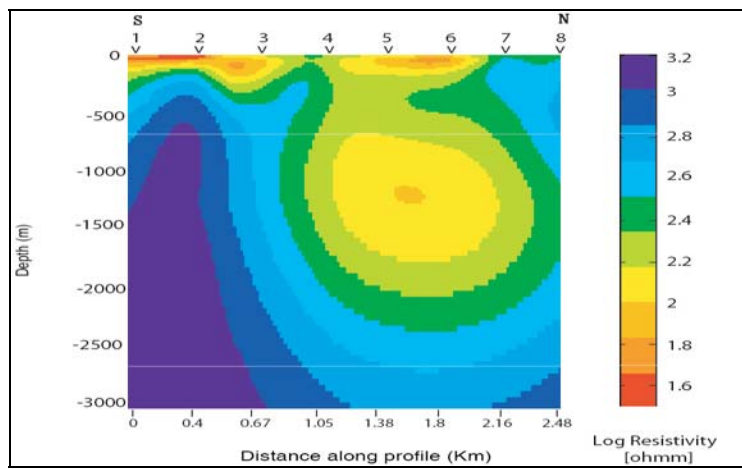
۸-۵ ایستگاه هشتمن: با توجه به چاولگی سویفت تا عمق ۱۶۰۰ متر ساختارها به صورت یک ساختار یک بعدی در نظر گرفته می‌شود و از این عمق به بعد با توجه به اینکه مقدار چاولگی سویفت و باهر از حدود تعیین شده فراتر می‌روند و از طرفی اختلاف زوایای بردارهای تلویریک برابر با 90° درجه است، ساختارها را در این اعماق به صورت یک ساختار دو بعدی نازک همراه با تغییرات رسانایی جانبی روی یک ساختار دو بعدی تحت یک دستگاه مختصات چرخیده شده در نظر می‌گیریم.



شکل ۴. شکلهای (الف) و (ب) به ترتیب مدل مقاومت ویژه وارون و زاویه استرایک منطقه را در ایستگاه سوم نمایش می‌دهد.



شکل ۵. شکلهای (الف) و (ب) به ترتیب مدل مقاومت ویژه وارون و منحنی استرایک منطقه، در ایستگاه ششم را نمایش می‌دهد.



شکل ۶. نمایش مدل حاصل از برگردان داده‌های TM.

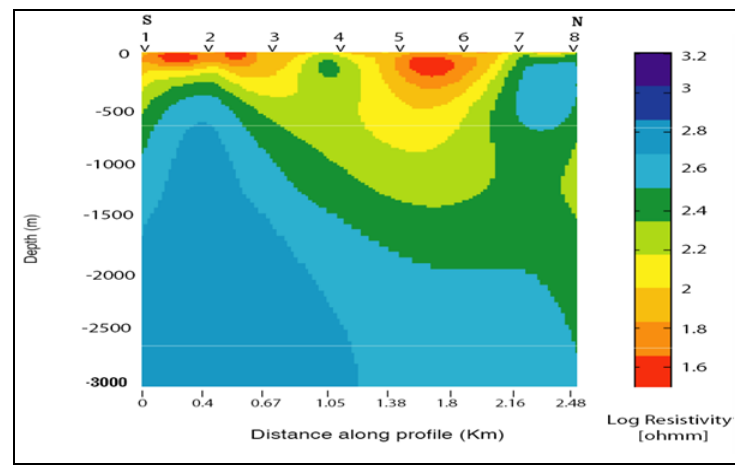
۵ و محل گسل احتمالی و آبراهه در زیر ایستگاه‌های ۶ به صورت زون‌های رسانا مشخص شده است.

۴-۶ مدل حاصل از برگردان ترکیبی داده‌های TE و (TETM) TM

حالات TETM که در شکل ۷ نمایش داده شده است، یک زون تقریباً رسانا بین ایستگاه‌های ۵ و ۶ تا عمق حدوداً ۵۰۰ متر نشان می‌دهد و با بررسی ساختارهای مقاومتی زیرین یک افتادگی در زیر این دو ایستگاه نسبت به ایستگاه‌های ابتدایی با شیب به سمت شمال را نشان می‌دهد.

۶-۱ مدل حاصل از برگردان داده‌های TM

داده‌های TM، در این حالت مولفه میدان مغناطیسی در راستای استرایک زمین‌شناسی منطقه و مولفه میدان الکتریکی عمود بر امتداد گسل است. یک زون تقریباً رسانای سطحی از محل ایستگاه ۱ تا ایستگاه ۶ قابل تفکیک بوده است و در محل ایستگاه‌های ۵ و ۶ یک توده رسانای نسبتاً عمیق قابل شناسایی است که تا عمق ۲۵۰۰ متر ادامه دارد. بررسی ساختارهای مقاومتی ویژه یک افتادگی را در این ناحیه نسبت به ایستگاه‌های ابتدایی به سمت شمال منطقه نشان می‌دهد (شکل ۶). همچنین مطابق با نتایج حاصل از مدل TE محل گسل مشا در زیر ایستگاه

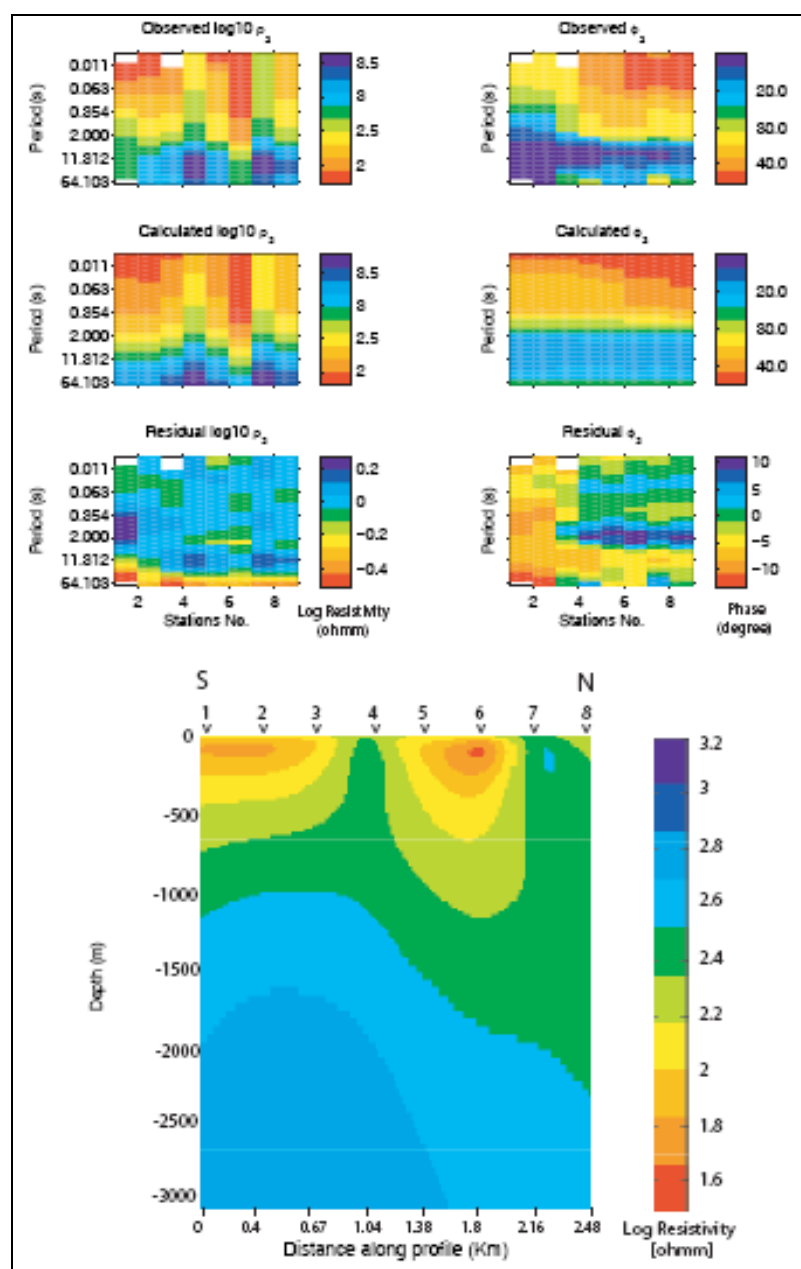


شکل ۷. مدل ترکیبی منتج از داده‌های TM و TE.

و به حدود ۷۵ درجه می‌رسد. چون سازند واقع در جنوب گسل (سازند کرج) جوانتر از سازندهای شمالی گسل (سازندهای مربوط به دوران پالئوزوئیک) است و از آنجاکه در دیواره شمالی یک افتادگی دیده می‌شود، می‌توان نوع گسل را نرمال حدس زد (شکل ۸).

۳-۶ مدل حاصل از برگردان داده‌های دترمینان

حال Det یک زون رسانا را بین ایستگاه‌های ۵ و ۶ نشان می‌دهد که با استفاده از بررسی اختلاف عمق ساختارهای با مقاومت یکسان شیب گسل را به سمت شمال منطقه نشان می‌دهد و تا عمق حدوداً ۲۰۰۰ متر دارای شیب تقریباً قائم و از این عمق به بعد از شیب گسل کاسته شده



شکل ۸ نمایشی از داده‌های دترمینان و مدل حاصل از برگردان دویعده این داده‌ها.

اعماق در رسیدن به سطح کاسته شده و تقریباً به حالت قائم نزدیک شده است. از سوی دیگر همان گونه که انتظار داریم در بخش‌های سطحی به دلیل شکنندگی پوسته زمین و ایجاد مدل‌های ساختاری مربوط به افزایش فعالیت گسل‌ها در سطح، عوارضی از آشفتگی‌های ناشی از شکستگی‌های متعدد و بزرگ نمایان است.

با توجه به مدل‌های به دست آمده و بررسی حرکات زیرسطحی و با استناد به تغییر مکان زون‌های مقاوم و رساناً نسبت به شب گسل، عملکرد نرمال گسل مشا برای بخش‌های کم عمق بدیهی است و به نظر می‌رسد که سازوکار آن فقط در بخش‌های سطحی و نزدیک به سطح که نشان‌دهنده فعالیت‌های جدید آن در مقیاس زمین‌شناسی‌اند، نرمال و کششی است. در مورد عملکرد پیشین گسل، با توجه به توالی حوادث زمین‌ساختی فعالیت معکوس را گزارش می‌دهد. ولی در مورد حرکات امتدادلغز گسل که اکنون روند حاکم بر تحولات ساختاری البرز مرکزی است، نمی‌توان نظر داد.

لازم است برای قطعیت بخشنیدن به نتایج کنونی و همچنین برآورده استندر از حرکات جوان و جدید این گسل که با لغزش‌های امتدادی غالب‌تری نسبت به حرکات شب‌لغز ممکن است همراه باشد، برداشت‌های مگنتوتولریک در امتداد حدائق دو نیم‌رخ به موازات نیم‌رخ‌های فعلی و عمود بر گسل طراحی و برداشت شود.

منابع

امیدیان، ص، ۱۳۸۶، تعیین جایگاه تکتونیکی آتشفشن دماوند براساس شواهد ژئوشیمیایی و ساختاری، پایان‌نامه کارشناسی ارشد، دانشکده زمین‌شناسی، دانشگاه تهران.

امیدیان، ص، قریب، ف، حسن‌زاده، ج. و الیاسی، م، ۱۳۸۷، بارزسازی گسل‌های نرمال در اطراف آتشفشن دماوند با بهره‌گیری از ابزارهای دورسنجی و مدل

۷ بحث و نتیجه‌گیری

نکته عمومی که در همه مدل‌ها ملاحظه می‌شود، شناسایی حریم گسترش سازند کرج است. تاکنون در بین زمین‌شناسان اتفاق نظری مبنی بر خروج و انباشت حجم عظیمی از توف‌های سبز کرج به صورت مواد آذرآواری به دست نیامده و از سویی میزان گسترش عمقی این سازند مبهم و همچنین محل خروج آن در هاله‌ای از ابهام قرار دارد. همان‌طور که در نقشه زمین‌شناسی شکل ۱ ب دیده می‌شود، ایستگاه چهارم به طور کامل و لبه ایستگاه‌های سوم و پنجم به صورت حاشیه‌ای روی این سازند مستقر شده‌اند. با توجه به بررسی مگنتوتولریک به نظر می‌رسد که این سازند در محدوده مقاومت ویژه ۱۵۰ تا ۲۵۰ متر قرار دارد و از اعمق بیش از ۲۵۰۰ متر ریشه گرفته است. شب و امتداد عمقی خروج آن با توجه به مدل‌های به دست آمده منطبق با شب گسل مشا در نظر گرفته می‌شود و به نظر می‌رسد که از بخش‌های عمیق‌تری در قسمت‌های شمالی و در جهت شکستگی‌های بزرگ منطقه به سمت سطح فرار کرده و یا ته نشین شده است.

با توجه به پیشینه زمین‌شناسی منطقه، مشاهدات زمین‌شناسی و تفسیر داده‌های ژئوفیزیکی این گونه به نظر می‌رسد که این بخش از گسل مشا و محل قرارگیری آن در بخش نمایش داده شده روی نقشه با نتایج تفسیر داده‌های ژئوفیزیکی مطابقت دارد. زیرا آشفتگی‌های ناشی از زون‌های رساناً به طور مشخص در بین ایستگاه‌های ۵ و ۶ نمایان شده‌اند. زون خُرد شده ناشی از فعالیت گسل مشا و همچنین فعالیت گسل فرعی و آبراهه گسلی در زیر ایستگاه‌های ۵ و ۶ و احتمالاً ایستگاه‌های ۱ و ۲ تا ۳ به صورت نواحی با مقاومت کم و به صورت زون‌های رساناً نمایش داده شده است.

از روند تغییرات تدریجی این زون رساناً، در حکم زون خُرد شده ناشی از فعالیت گسل، مشخص می‌شود که از خمس صفحه گسل با شب زیاد بین ۷۵ تا ۸۰ درجه از

- Shafei, R., Soleymani, S. and Vernant, P., 2006, Active transtension inside Central Alborz: a new insight into northern Iran-southern Caspian geodynamics, *Geology*, **34**(6), 477-480.
- Vernant, P. h., Nilforoushan, F., Chéry, F., Bayer, R., Djamour, Y., Masson, F., Nankali, H., Ritz, J. F., Sedighi, M. and Tavakoli, F., 2004, Deciphering oblique shortening of Central Alborz in Iran using geodetic data, *Earth and Planetary Science Letters*, **223**, 177-185.
- ساختاری ریدل، در زیر چاپ.
- Allen, M. B., Ghassemi, M. R., Shahrabi, M. and Qorashi, M., 2003, Accommodation of late Cenozoic oblique shortening in the Alborz range, northern Iran, *Journal of Structural Geology*, **25**, 659-672.
- Bachmanov, D. M., 2001, Age zoning of coarse molasse in the outer Zagros and migration of the recent orogeny, *Geotektonika*, **35**(4), 505-509.
- Berberian, M. and Yeats, R. S., 1999, Patterns of historical earthquake rupture in the Iranian plateau, *Bulletin of the Seismological Society of America*, **89**(1), 120-139.
- Berdichevsky , M. N. Dmitriev, V. L., Feldman, I. S., Beresina, N. L., Demidov, A. L. and Jakovlev, S. P., 1988, Interpretation of deep MT sounding in the Tungus syneclise, *Izv. Akad. Nauk SSSR, Ser. Fiz. Zemli*, **7**, 73-79.
- Davidson, J., Hassanzadeh, J., Berzins, R., Stockli, D. F., Bashkuh, B., Turin, B. and Pandamouz, A., 2004, The geology of Damavand volcano, Alborz mountains, northern Iran, *Geological Society of America Bulletin*, **116** (1/2), 16-29.
- Hassanzadeh, J., Omidian, S. and Davidson, J., 2006, A late Pliocene tectonic switch from transpression to transtension in the Haraz sector of central Alborz: implications for the origin of Damavand volcano, *Philadelphia Annual Meeting, Geological Society of America*, 171-28.
- Jackson, J., Priestley, K., Allen, M. and Berberian, M., 2002, Active tectonics of the South Caspian Basin, *Geophysical Journal International*, **148**, 214-245.
- Oskooi, B., 2006, 1D interpretation of the magnetotelluric data from travale geothermal field in Italy, *J. Earth Space Phys.*, **32**(2), 1-16.
- Pedersen, L. B., 2004, Determination of the regularization level of truncated singular-value decomposition inversion: The case of 1D inversion of MT data: *Geophysics*, **52**, 261-270.
- Ritz, J. F., Balescu, S., Soleymani, S., Abbassi, M., Nazari, H., Feghhi, K., Shabanian, E., Tabassi, H., Farbod, Y., Lamothe, M., Michelot, J. L., Massault, M., Chery, J. and Vernant, P., 2003, Determining the long-term slip rate along the Mosha Fault, Central Alborz, Iran, *4th. International Conference on Seismology and Earthquake Engineering, (See 4)*, Tehran, Iran.
- Ritz, J. F., Nazari, H., Ghassemi, A., Salamat, R.,